

## بررسی نظری رفتار مهاربند همگرای y شکل

سید سهیل مجید زمانی<sup>۱\*</sup>، سید مصطفی رسولی<sup>۲</sup>

۱- مریبی مهندسی سازه، مرکز تحقیقات ساختمان و مسکن

۲- دانشجوی کارشناسی ارشد مهندسی زلزله، پژوهشکده ساختمان و مسکن، مرکز تحقیقات ساختمان و مسکن

\* تهران، صندوق پستی ۱۶۹۶ - ۱۳۱۴۵

majidzamani@bhrc.ac.ir

(دریافت مقاله: خرداد ۱۳۸۳، پذیرش مقاله: دی ۱۳۸۴)

**چکیده** - مهاربند همگرا به فرم y که مهاربند پرده‌ای و مهاربند خیمه‌ای نیز نامیده می‌شود، تحت بارگذاری جانی افقی در صفحه قاب، رفتار خاصی دارد که عبارت است از تولید نیروی کششی یا نیروی فشاری در هر سه عضو آن به طور همزمان. استفاده از این نوع مهاربندی تاکنون، معطوف به عملکرد مناسب آن در شرایط تولید کشش در اعضای آن بوده است. با توجه به محدود شدن مؤلفه افقی نیروی اعضای کششی مهاربند به ۷۰٪ برش کل در استاندارد ۲۸۰۰ لازم است که این مهاربندی بتواند در حالت فشاری نیز حداقل ۳۰٪ برش کلی ناشی از زلزله را تحمل نماید تا کاربرد آن به صورت جفت متقارن در هر جهت پلان ساختمانی در قابهای فولادی قابل قبول باشد.

در این تحقیق عملکرد این مهاربندی در شرایط تولید فشار در اعضای آن بررسی شده است. کمانش خارج از صفحه قاب، محتمل ترین روند کاهش باربری این مهاربندی تحت بار جانی است. با توجه به اهمیت میزان گیرداری خمی می‌گیرد که اگاههای اعضای مهاربندی در تعیین بار کمانش خارج از صفحه، با فرض وجود ورقهای اتصال در دو طرف اعضا، بار کمانش ارجاعی و غیرارتجاعی محاسبه شده است. نتایج حاصل از این تحلیلها نشان می‌دهد که مهاربندی لا شکل توانایی قابل ملاحظه‌ای را برای تحمل بار جانبی مولد فشار در اعضای مهاربندی دارد. تغییرات بار کمانش ارجاعی، ضمن تغییر دادن نقطه همگرایی سه عضو مهاربندی بررسی شده است. بیشترین بار کمانش ارجاعی به ازای نقطه همگرایی واقع بر روی عضو قطری کامل حاصل می‌شود. با حرکت دادن نقطه همگرایی سه عضو مهاربندی به سمت محل اتصال تیر و ستون قاب، بار کمانش ارجاعی کاهش می‌یابد. بار کمانش ارجاعی در تمامی حالات هندسی مورد بررسی، از نیروی تسلیم مهاربندی بیشتر بوده است. بنابراین کمانش غیرارتجاعی مهاربندی محتمل بوده و لذا بررسی شده است. بار کمانش ارجاعی به ازای قرارگیری نقطه همگرایی بر روی قطر مهاربندی به حدکثر می‌رسد و با دور شدن نقطه همگرایی از قطر مهاربندی، کاهش می‌یابد. توانایی استهلاک انرژی حلقوی سیستم مهاربندی لا شکل، با نزدیک شدن نقطه همگرایی مهاربندی به گوشه قاب، افزایش می‌یابد. همچنین حلقه‌های بارگذاری و باربرداری سیستم مهاربندی با دور شدن نقطه همگرایی از وسط قطر چشم‌های قاب، حالت متقارن‌تری نسبت به محور مختصات نیرو- تغییر مکان پیدا می‌کنند.

**کلید واژگان:** مهاربندی، همگرا، هم محور، کمانش، غیرارتجاعی.

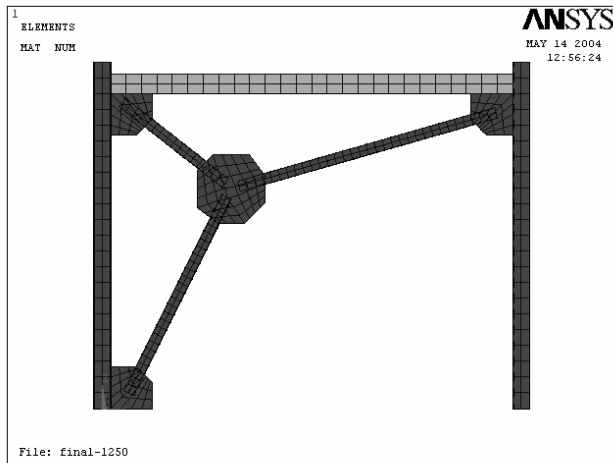
حتی در صورتی که بتوان با انجام اصلاحاتی در مهاربندی  $\text{U}$  شکل، توان تحمل بار جانبی مولد فشار در آن را افزایش داده و به حد قابل قبولی رساند، با توجه به مندرجات بند ۲-۸-پ پیوست دوم استاندارد ۲۸۰۰ [۵]، مبنی بر این که نیروی برشی در هر طبقه از مهاربند، باید طوری بین عناصر مهاربند توزیع شود که مجموع مؤلفه افقی نیروی اعضا فشاری و یا کششی هیچ یک از  $70\%$  برش کل تجاوز نکند، لازم است از مهاربندی  $\text{U}$  شکل به صورت جفت متقارن در هر جهت پلان ساختمان استفاده شود. به این ترتیب از نظر آئین نامه‌ای کافی است مهاربند  $\text{U}$  شکل در حالت فشاری شدن هر سه عضو آن بتواند  $30\%$  از برش طبقه مورد نظر را تحمل کند. با این دیدگاه یعنی لزوم تحمل نیروی جانبی زلزله به وسیله عملکرد توأم کششی و فشاری مهاربندها، نمی‌توان از مهاربند  $\text{U}$  شکل، فقط برای تحمل کشش بهره برد و لازم است مقدار قابل قبولی برای ظرفیت باربری تحت فشار نیز در نظر گرفته شود.

Mehmetrin مرجعی که پیش از این به طور علمی رفتار مهاربندی  $\text{U}$  شکل تحت فشار را بررسی کرده است، پایان نامه علیرضا بادپر در دانشکده فنی دانشگاه تهران است [۶]. در این پایان نامه، بار کمانش جانبی مهاربند  $\text{U}$  شکل با فرض گیرداری سه عضو مهاربند در نقاط اتصال به قاب و فرض مفصلی بودن نقطه همگرایی این سه عضو، محاسبه شده است. این محاسبه با در نظر گرفتن اعضای مهاربندی به صورت عناصر منشوری و ملحوظ کردن صلیبت خمثی آنها انجام شده است. در اتصال مهاربند به قاب از فنر خمثی استفاده شده است. از جمع زدن سختی جانبی سه عضو مهاربند و برابر صفر قرار دادن این مجموع، رابطه‌ای حاصل شده است که می‌توان از آن، بار جانبی بحرانی مولد کمانش خارج از صفحه را محاسبه کرد. برای قابهایی با ابعاد متعارف و مقاطع مهاربند از نوع قوطی، نتایج رابطه فوق برای حالت گیرداری کامل تکیه گاه مهاربندها نشان می‌دهند که بار بحرانی کمانش جانبی مهاربندی  $\text{U}$  شکل با بار مجاز کششی اعضای مهاربندی قابل مقایسه است.

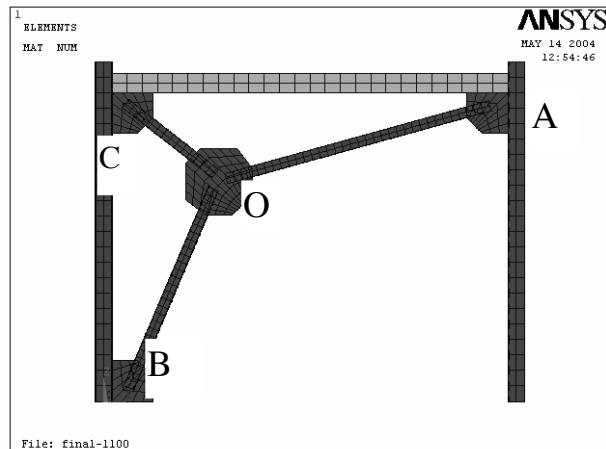
## ۱- مقدمه

مهاربندی همگرای  $\text{U}$  شکل در متون فنی به طور اختصار بررسی شده است. تارانات<sup>۱</sup> در [۱] این مهاربندی را در زمرة سایر انواع مهاربندی همگرا معرفی کرده است. در [۲] نیز این مهاربندی معرفی شده و با ارائه تصاویر سه بعدی مزایای آن در تأمین بازشوی در و پنجره در مقایسه با سایر انواع مهاربندی همگرا نشان داده شده است. در [۳] که به سازه‌های صنعتی فولادی اختصاص دارد، مهاربندی  $\text{U}$  شکل معرفی و همچنین بیان شده است که این مهاربندی در فشار کارایی ندارد و لازم است به صورت یک جفت متقارن در کنار یکدیگر در هر جهت از پلان سازه استفاده شود. این دیدگاه در آئین نامه اروپایی طراحی ساختمانها در برابر زلزله EC8 [۴] نیز به طور تلویحی وجود دارد. در مجموع از مطالعه مدارک فنی و کتب مرجع چنین بر می‌آید که اطمینانی نسبت به عملکرد مناسب این مهاربندی در شرایط فشاری شدن اعضای آن وجود ندارد. شاید این دیدگاه عمومی ناشی از مشاهده حالت متدائل اتصالات این نوع مهاربندی باشد که شامل یک ورق اتصال در میان دو پروفیل تشکیل دهنده هر عضو مهاربندی یا یک ورق اتصال در کنار تنها پروفیل هر عضو باشد. این آرایش اتصال که متضمن کاهش شدید شعاع زیراسیون در مقطع ورق اتصال نسبت به مقطع اعضای مهاربندی است، در برابر کمانش خارج از صفحه قاب بسیار ضعیف است و کمانش آن تحت بارهای ناچیز جانبی روی می‌دهد و در عمل به علت ضعف خمثی ورق اتصال در هنگام کمانش خارج از صفحه، می‌توان گفت که اعضای مهاربندی در جذب انرژی وارد شونده به سازه، تقریباً مشارکت ندارند. در چنین حالتی، طبیعی است که وظیفه جذب و استهلاک انرژی به آن چشم‌های از مهاربندی واگذار شود که تحت بار جانبی، اعضای آن همگی تحت کشش واقع شده و می‌توانند به نحو مؤثری بدون نایابداری عمل کنند.

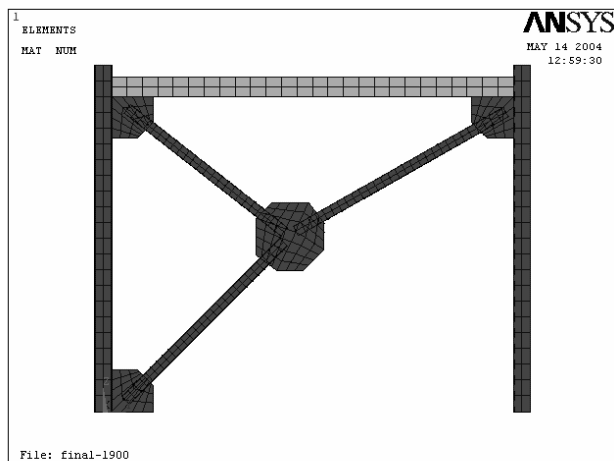
1. Taranath



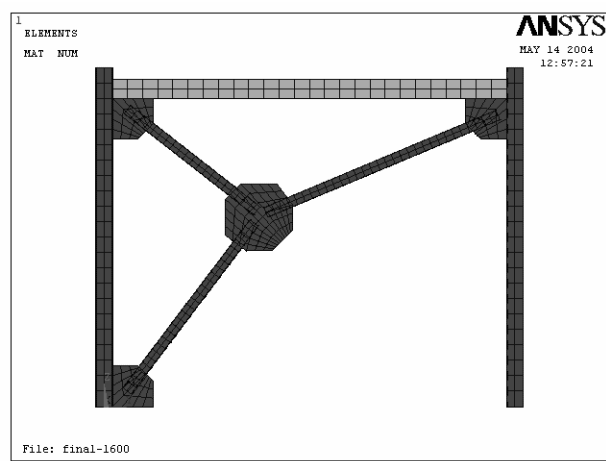
۱-ب مدل ۱۲۵۰



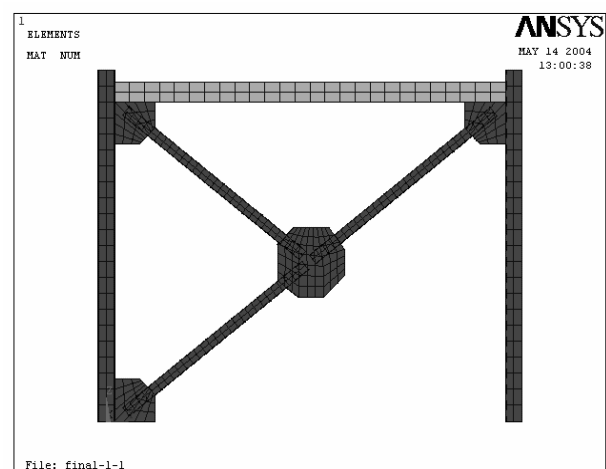
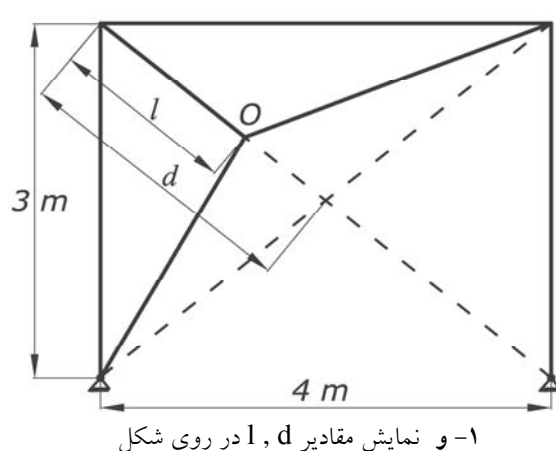
۱-الف مدل ۱۱۰۰



۱-د مدل ۱۹۰۰



۱-ج مدل ۱۶۰۰

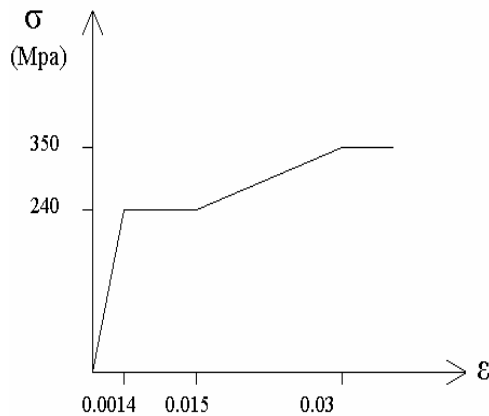


۱-ه مدل ۲۲۰۰

شکل ۱ نمای مدل‌های مورد بررسی

مهاربندها فراهم شود. در مجموع پنج مدل به روش اجزا محدود تحلیل شده که تفاوت آنها در موقعیت نقطه همگرایی سه مهاربند است. نمای این مدلها در شکل ۱ دیده می‌شود. شماره هر مدل نشان‌دهنده طول عضو کوچکتر مهاربندی یا  $OC$  است. اگر طول این عضو را با  $l$  و طول نیم قطر چشمہ قاب را با  $d$  نمایش دهیم، نسبت  $\frac{l}{d}$  برای این مدلها بین  $0/054$  تا  $1$  متغیر بوده است. در مدل  $2200$  نقطه همگرایی  $0$  محل برخورد دو قطر چشمہ قاب است. در چهار مدل دیگر به تدریج نقطه همگرایی از محل برخورد دو قطر فاصله می‌گیرد و روی قطر چشمہ قاب به سمت محل اتصال تیر و ستون حرکت داده می‌شود. تمامی اعضاء و عناصر به وسیله المانهای صفحه‌ای پوسته<sup>۱</sup> هشت گرهی مدلسازی شده‌اند.

منحنی تنش-کرنش فولاد به کار رفته در تحلیل غیراتجاعی در شکل ۲ نشان داده شده است. از طرف دیگر به علت اهمیت تغییر هندسه مدل در تحلیل کمانش، لازم است نرم‌افزار مورد استفاده، توانایی تصحیح ماتریس‌های هندسی مدل را نیز داشته باشد.



شکل ۲ منحنی تنش-کرنش فولاد وارد شده به نرم‌افزار

این توانایی را توانایی تحلیل تغییرشکل‌های بزرگ می‌نامند که در بحث جاری نیز استفاده شده است. المانهای مورد استفاده کماکان از نوع صفحه‌ای شل هشت گرهی است. برای ایجاد نقص اولیه در سیستم سازه‌ای به منظور آشکار

در پایان نامه دیگری رفتار مهاربندی  $\text{U}$  شکل به صورت ارجاعی و غیرارتجاعی دو بعدی مطالعه شده است [۷]. در این تحقیق از اعضای خرپایی و قابی برای تشکیل مدل استفاده شده است. از مهمترین نتایج تحقیق مذبور این بوده است که برای استفاده از ظرفیت فشاری مهاربندی لازم است اتصالات اعضای مهاربندی نسبت به خمس خارج از صفحه، تا حد امکان گیردار باشند.

کاظمی در [۸]، رفتار الاستیک دو بعدی مهاربند  $\text{U}$  شکل را بررسی کرده است. در این مقاله پس از ارزیابی مختصر مزايا و معایب این نوع مهاربند نشان داده شده است که با حرکت کردن گره میانی به سمت گوشه قاب و افزایش خروج از مرکزیت این نقطه، سختی قاب کمتر شده و در نتیجه پرید ارتعاش طبیعی مهاربند افزایش در پسی آن جایه‌جایی سیستم تحت بار ثابت افزایش می‌یابد.

این سابقه نشان می‌دهد که پرداختن به مسئله به‌طور دقیق ارزش کافی را دارد.

## ۲- مشخصات مدل‌های تحلیلی

در تحقیق حاضر یک قاب یک دهانه یک طبقه به عرض  $4$  و ارتفاع  $3$  متر شامل مهاربندی  $\text{U}$  شکل در نظر گرفته شده است. اتصال اعضای مهاربندی در هر دو انتهای آنها به کمک ورقهای اتصال دو طرف اعضا برقرار شده است. حرکت تیر قاب در جهت عمود بر صفحه مهار شده تا اثر دیافراگم کف طبقه شبیه‌سازی شود. اتصال بین ورقها و سایر اعضا به وسیله جوش برقرار می‌شود. این جوش با بستن گره‌های اعضا متصل شده و ورق اتصال به یکدیگر در ناحیه مجاور آنها مدلسازی شده است. مقطع ستونها متشکل از  $PL160 \times 8mm$  برای بالها و  $PL120 \times 8mm$  برای جان است. مقطع تیر متشکل از  $PL120 \times 8mm$  برای بالها و  $PL180 \times 6mm$  برای جان است. مقطع مهاربندها (2UNP100) انتخاب شده است. ورقهای اتصال همگی ضخامت  $10mm$  دارند و ابعاد آنها طوری انتخاب شده که طول جوش کافی برای انتقال ظرفیت نیروی محوری

بنابراین کمانش غیرارتجاعی این سیستم مهاربندی حتمی بوده و لازم است برای مطالعه این پدیده، خصوصیات غیرارتجاعی مصالح در تحلیل وارد شود.

#### ۴- تحلیل های کمانش غیرارتجاعی تحت بارگذاری جانبی مونوتونیک

در این بخش رفتار مدلها پنج گانه برای بارگذاری جانبی مولد فشار در اعضای مهاربندی برسی می شود. پارامترهای مورد مطالعه مشتمل است بر: نیروی جانبی، تغییر مکان افقی در صفحه قاب، تغییر مکان افقی عمود بر صفحه قاب، سختی مهاربندی قبل و بعد از کمانش و انرژی جذب شده در یک چرخه بارگذاری و باربرداری. همچنین کیفیت کلی کمانش و آستانه پدید آمدن اولین تغییر شکلها پلاستیک و آستانه کمانش غیرارتجاعی مهاربندی مورد بحث قرار می گیرد.

**۱-۴- مدل ۲۲۰۰**  
حداکثر بار جانبی اعمال شده در تحلیل تمامی مدلها برابر  $6230\text{kg}$  است که با نماد P مشخص می شود. اولین مدل مورد بحث، مدل ۲۲۰۰ است که یک عضو قطری کامل و یک عضو نیم قطری دارد. این مدل در واقع نوع تقویت شده ای از مهاربند تک قطری است که ساده ترین مهاربندها به شمار می رود. در شکل ۵ نمودار رابطه نیروی جانبی و تغییر مکان افقی درون صفحه ای در محل برخورد تیر و ستون قاب نشان داده است. از مطالعه این نمودار می توان دید که رفتار قاب مهاربندی شده تا نیرویی نزدیک به  $0/92\text{P}$  و تغییر مکان افقی  $0/65\text{cm}$  به طور کلی خطی است و در این حد از بار جانبی، به طور ناگهانی کمانش و کاهش سختی اتفاق می افتد و سپس با ایجاد مفصل پلاستیک در عضو بلندتر مهاربندی در نیرویی برابر  $0/93\text{P}$ ، مجدداً سختی جانبی افزایش یافته و مرحله جدیدی از رفتار قاب مهاربندی شده در محدوده پس از کمانش غیرارتجاعی آغاز می شود.

شدن پدیده کمانش غیرارتجاعی، از تغییر دادن ضخامت جان یک ناودانی به اندازه رواداری مجاز آن یعنی  $0/5\text{mm}$  در عضو بلندتر مهاربندی (OA) استفاده شده است.

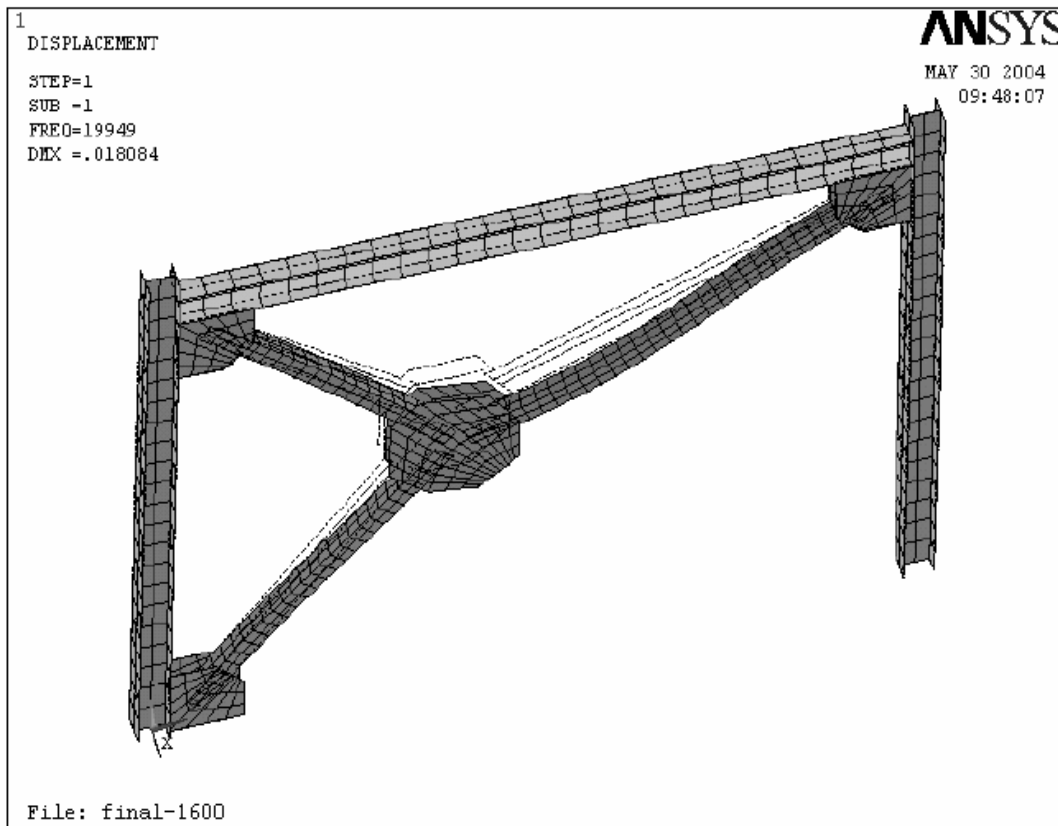
#### ۳- بررسی کمانش ارجاعی مهاربندی

در اولین رشته از بررسیهای پایداری ارجاعی مدلها فوق، از طریق یافتن مقادیر ویژه معادله پایداری سازه، بار جانبی متناظر با مدهای اول و دوم کمانش سیستم مهاربندی محاسبه شده است. این مقادیر در جدول ۱ ارائه شده است.

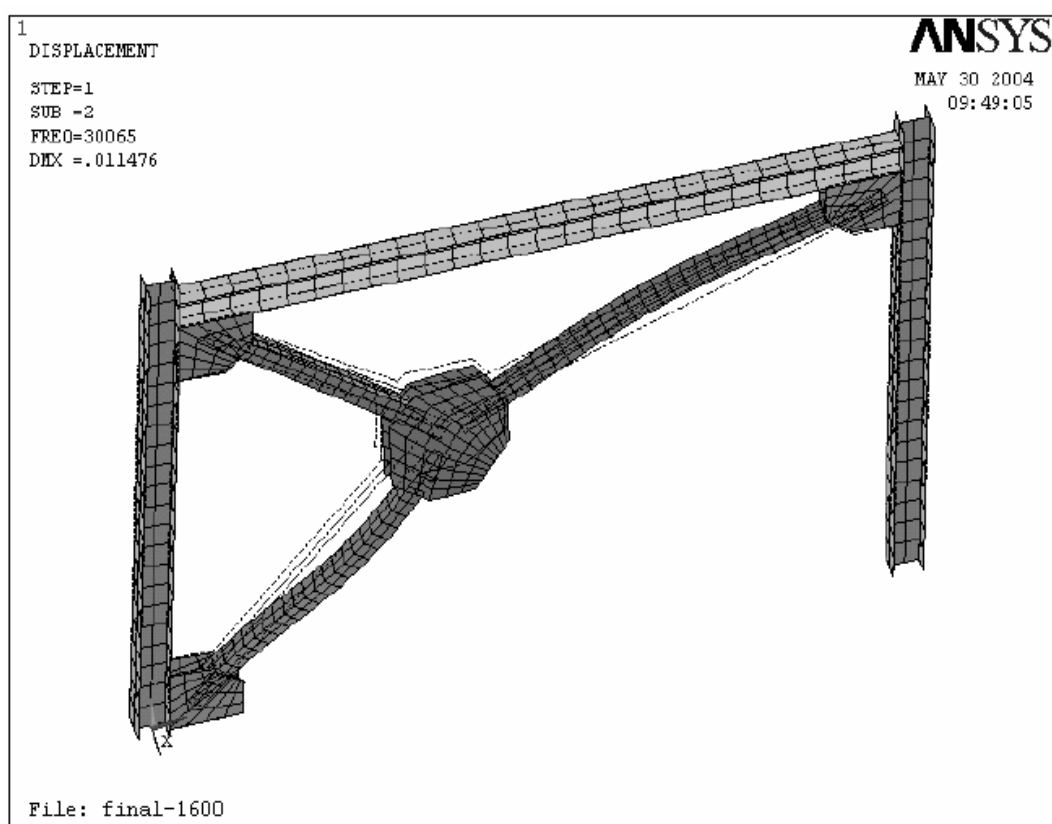
جدول ۱ مقادیر بار کمانش ارجاعی

مدل	$\frac{l}{d}$	بار کمانش (Kg)	مد اول (Kg)	بار کمانش (Kg)
۲۲۰۰	۱	۲۲۳۹۰۰	۳۱۸۴۲۸	۲۲۳۹۰۰
۱۹۰۰	۰/۸۸	۲۰۷۲۰۶	۲۹۷۸۵۳	۲۰۷۲۰۶
۱۶۰۰	۰/۷۵	۱۷۷۱۴۶	۲۶۶۹۷۵	۱۷۷۱۴۶
۱۲۵۰	۰/۶۰	۱۵۵۸۱۷	۲۴۸۳۶۵	۱۵۵۸۱۷
۱۱۰۰	۰/۵۴	۱۵۲۱۹۴	۲۱۵۷۷۵	۱۵۲۱۹۴

دیده می شود که با نزدیک شدن نقطه همگرایی مهاربندی به محل اتصال تیر و ستون، بار کمانش ارجاعی به طور یکنواخت کاهش می یابد. نمونه ای از شکل مدهای کمانش اول و دوم مدل ۱۶۰۰ به ترتیب در شکل های ۳ و ۴ نشان داده شده است. با دقّت در این شکلها می توان دید که استفاده از اتصال گیردار بین اعضای مهاربندی، باعث یکپارچگی تغییر شکل آنها و مشارکت هر سه عضو در جذب انرژی شده و به این ترتیب بارهای کمانش بزرگی حاصل شده است. مقدار بار کمانش برای هر ۵ مدل مورد مطالعه، نشان دهنده عدم وقوع کمانش ارجاعی است. به عنوان مثال مدل ۱۶۰۰ را در نظر می گیریم. از تحلیل این مهاربندی تحت بار جانبی P به صورت یک خرپای معین نتیجه گرفته می شود که نیروی داخلی عضو OA و یا OB در حدود  $2/0\text{P}$  است. بنابراین در صورت برقراری روابط ارجاعی برای حصول مد اول بر طبق جدول فوق، باید نیرویی بیش از  $350\text{t}$  در این عضو تولید شود که برای مقطعی مت Shank از دو ناودانی U100 غیرممکن است.



شکل ۳ مد اول کمانش ارتیجاعی در مدل ۱۶۰۰



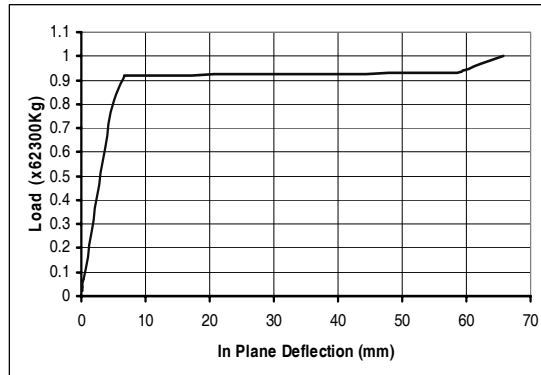
شکل ۴ مد دوم کمانش ارتیجاعی در مدل ۱۶۰۰

در شکل‌های ۷ و ۸ نیز که- به ترتیب نشان دهنده کرنشهای پلاستیک درست قبل و در هنگام تشکیل مفصل پلاستیک برای کمانش خارج از صفحه است- رفتار کمانش ناگهانی مهاربندی قابل مشاهده است.

در بار  $0/92P$  نواحی بالا و پایین مقطع اعضا مهاربندی در مجاورت ورقهای اتصال، دارای کرنشهای پلاستیک تا حد  $0/016$  هستند و فقط با  $0/01P$  افزایش در بار، مفصل پلاستیک محدودی در نزدیکی ورق اتصال وسط چشممه قاب پدید آمده و ضمن ایجاد کرنشهای پلاستیک بسیار بالا تا حد  $0/25$ ، در واقع یک شکستگی در مهاربندی روی می‌دهد. این رفتار نشان دهنده عملکرد نامناسب مهاربندی همگرایی تک قطری تحت فشار است که هر چند کمانش پلاستیک در آن روی می‌دهد. اما این کمانش، به طور ناگهانی بوده و با افت شدید سختی توأم است. در مدل‌های بعدی، مهاربندی  $\text{U}$  شکل با هندسه‌های گوناگونی از نظر موقعیت نقطه همگرایی سه عضو مهاربندی، تحلیل شده است.

#### ۱۹۰۰-۲-۴ مدل

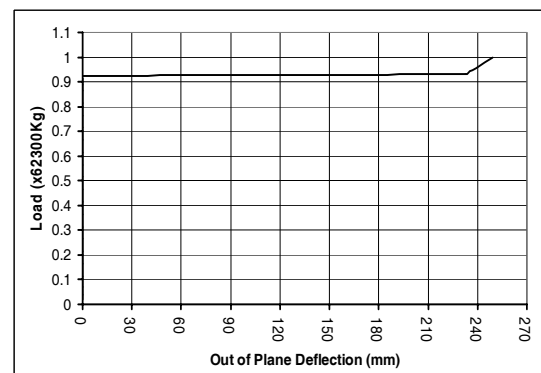
برای مدل ۱۹۰۰ در شکل‌های ۹ و ۱۰ به ترتیب تغییر مکانهای افقی داخل صفحه و خارج از صفحه قاب در نقطه تشکیل مفصل پلاستیک روی عضو بلندتر مهاربندی نشان داده شده است. کمانش خارج از صفحه در بار  $0/78P$  یا  $48416\text{kg}$  روی می‌دهد. تغییر مکان داخل صفحه قاب در این زمان برابر  $0/95\text{cm}$  است. بین  $0/78P$  و  $0/79P$  سختی ناچیزی وجود دارد و پس از  $0/79P$ ، سختی به علت عملکرد مفصل پلاستیک در عضو افزایش می‌یابد. سختی جانبی قاب پیش از کمانش برابر است. سختی پس از تشکیل مفصل پلاستیک برابر  $5096\text{t/m}$  است. سختی پس از  $324\text{ t/m}$  یعنی برابر  $6/4\%$  سختی اولیه قاب است.



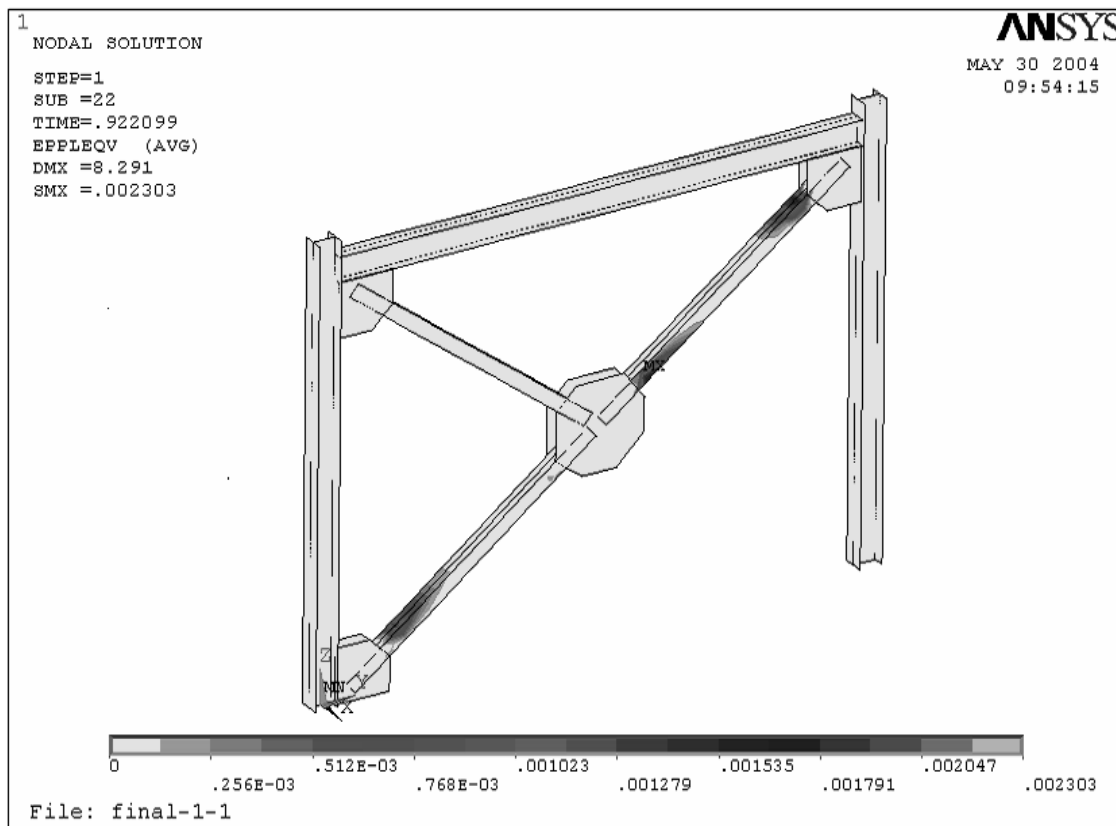
شکل ۵ نمودار تغییر مکان افقی داخل صفحه

سختی جانبی و تری قاب مهاربندی شده مدل ۲۲۰۰ از ابتدای بارگذاری تا  $0/92P$  برابر  $8820\text{t/m}$  محاسبه می‌شود. سختی بین بار  $0/92P$  تا  $0/93P$  تقریباً برابر صفر است. پس از بار  $0/93P$  سختی به  $623\text{t/m}$  می‌رسد که برابر  $7\%$  سختی ارجاعی قاب است. در شکل ۶ نمودار تغییرات جایه‌جایی افقی محل تشکیل مفصل پلاستیک در عضو بلندتر مهاربندی در جهت عمود بر صفحه نشان داده شده است.

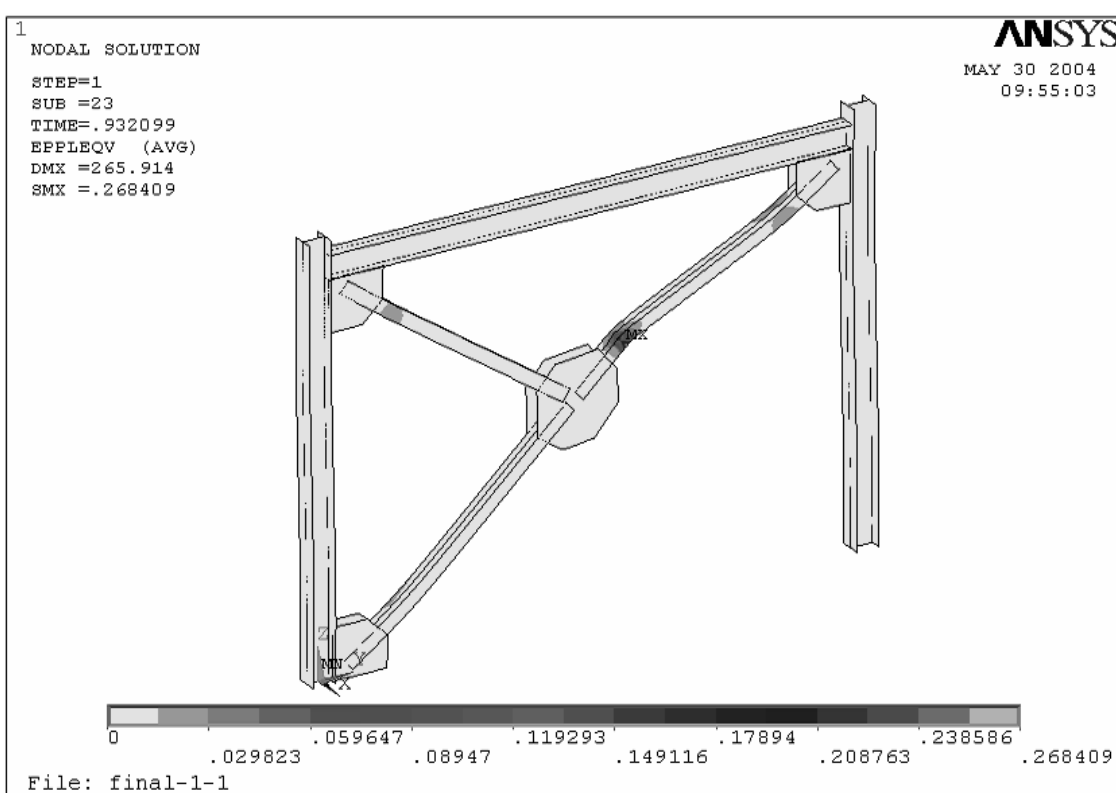
دیده می‌شود که تا بار  $0/92P$ ، تغییر مکان خارج از صفحه قاب تقریباً برابر صفر است و سپس به طور ناگهانی به حدود  $235\text{mm}$  افزایش می‌یابد یعنی کمانش روی می‌دهد. پس از بار  $0/93P$  بار دیگر سختی جانبی ناشی از تشکیل مفصل پلاستیک وارد عمل می‌شود و افزایش تغییر مکان همراه با افزایش نیرو ادامه می‌یابد.



شکل ۶ نمودار تغییر مکان افقی خارج از صفحه



شکل ۷ توزیع کرنش‌های پلاستیک در مدل ۲۲۰۰ درست قبل از بروز کمانش

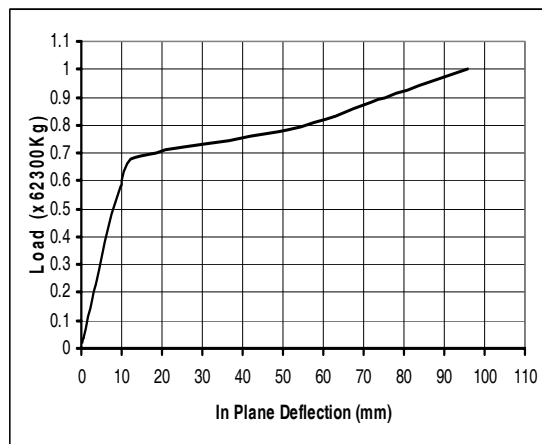


شکل ۸ توزیع کرنش‌های پلاستیک در مدل ۲۲۰۰ پس از کمانش و تشکیل مفصل پلاستیک

### ۱۶۰۰-۳-مدل

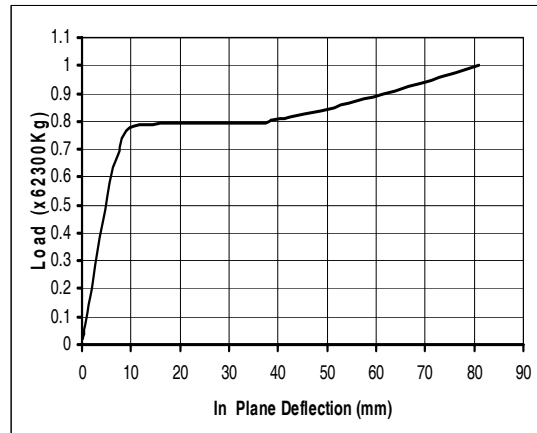
با حرکت دادن نقطه همگرایی مهاربندی به طرف گوشه قاب، به مدل بعدی یعنی ۱۶۰۰ می‌رسیم. در این مدل کمانش جانبی پلاستیک در بار  $P = 6850\text{ N}$  یا  $g = 42680\text{ kg}$  تغییر مکان  $1/3\text{ cm}$  روی می‌دهد. سختی جانبی در این مرحله برابر است با  $3283\text{ t/m}$  پس از کمانش تا رسیدن به بار  $P = 78\text{ P}$  یا  $g = 48600\text{ kg}$  سختی اندکی در حدود  $160\text{ t/m}$  مشاهده می‌شود. پس از رسیدن به بار  $P = 78\text{ P}$  در تغییر مکان افقی  $5/1\text{ cm}$  سختی افزایش یافته و تا پایان تحلیل در حد  $305\text{ t/m}$  باقی می‌ماند.

سختی جانبی در مراحل پس از کمانش به ترتیب برابر  $5\%$  و  $9\%$  سختی اولیه قاب به دست آمده است. شکلهای ۱۱ و ۱۲ تغییرات فوق را نمایش می‌دهند.

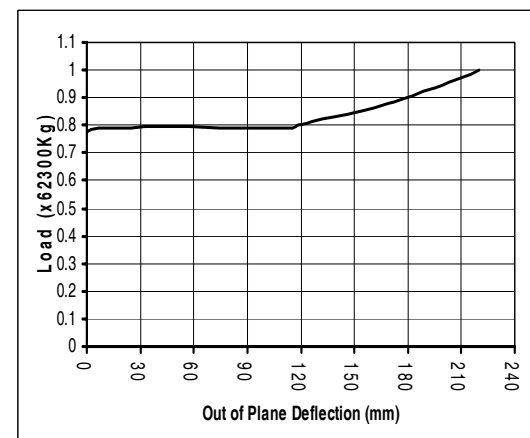


شکل ۱۱ نمودار تغییر مکان داخل صفحه قاب به ازای تغییرات نیروی جانبی در مدل ۱۶۰۰

در شکل ۱۳ نمای سه بعدی مدل ۱۶۰۰ درست قبل از وقوع کمانش جانبی خارج از صفحه نشان داده شده است. بار در حد  $P = 6825\text{ N}$  اعمال شده و نواحی پلاستیک در دو انتهای عضو بلندتر مهاربندی تشکیل شده و به نظر می‌رسد که کمانش داخل صفحه روی خواهد داد. محدوده کرنش پلاستیک در مقایسه با مدل ۲۲۰۰ و ۱۹۰۰ بیشتر گسترش یافته است و کرنش تا حدود  $100\text{ mm}$  دیده می‌شود. در شکل ۱۴ نمای جانبی مدل ۱۶۰۰ پس از



شکل ۹ نمودار تغییر مکان داخل صفحه قاب به ازای تغییرات نیروی جانبی در مدل ۱۹۰۰



شکل ۱۰ نمودار تغییر مکان عمود بر صفحه قاب به ازای تغییرات نیروی جانبی در مدل ۱۹۰۰

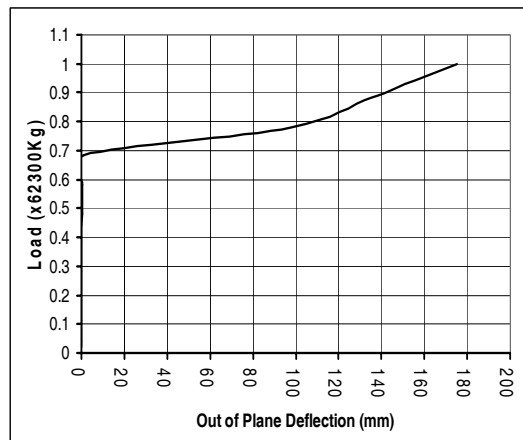
از بررسی نمودار تغییر مکان مفصل پلاستیک در جهت عمود بر صفحه قاب، نتیجه می‌شود که تا رسیدن به بار کمانش غیر ارتجاعی  $P = 78\text{ P}$  تغییر مکان خارج از صفحه بسیار ناچیز است. بین  $P = 78\text{ P}$  و  $P = 79\text{ P}$  حدود  $120\text{ mm}$  تغییر مکان به سرعت روی می‌دهد و پس از بار  $P = 79\text{ P}$  با مقاومت مفصل پلاستیک نرخ افزایش تغییر مکان کاهش می‌یابد به نحوی که برای تغییر مکان  $105\text{ mm}$  بیشتر، به وارد شدن نیروی جانبی  $P = 2\text{ P}$  یا  $g = 12460\text{ kg}$  نیاز است.

از مشاهدات مدل ۱۶۰۰ چنین استنتاج می‌شود که کمانش جانبی نسبت به مدل‌های ۲۲۰۰ و ۱۹۰۰ بسیار ملایمتر روی داده و تغییرشکلهای پلاستیک در محدوده بزرگتری از مهاربند پدید می‌آیند.

#### ۱۲۵۰-۴-۴ مدل

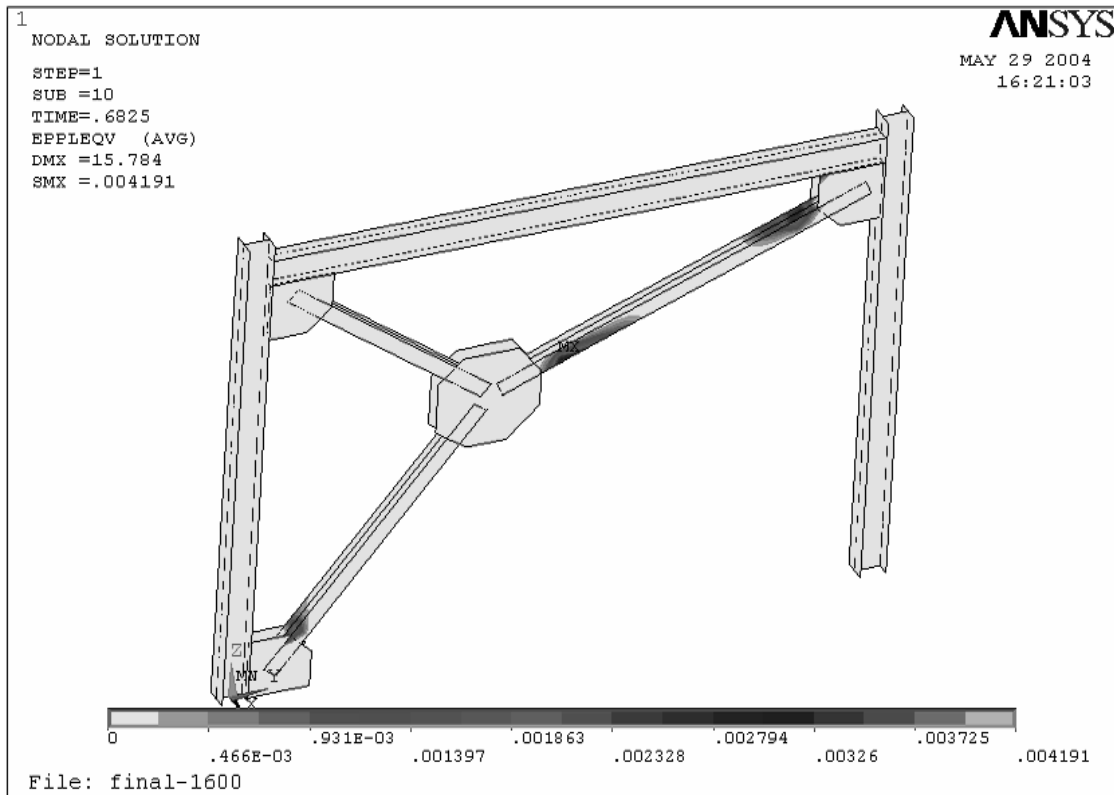
نمونه ۱۲۵۰ با پیروی از روند پیش گفته دارای سختی ارجاعی کمتری است و کمانش آن نیز ملایمتر روی می‌دهد. سختی اولیه جانبی قبل از کمانش برابر است با  $1666 \text{ t/m}$ ، کمانش در بار جانبی  $36600 \text{ kg}$  و در تغییرمکان جانبی  $2/2 \text{ cm}$  اتفاق می‌افتد. سپس تا رسیدن به تغییرمکان  $4/5 \text{ cm}$  و نیروی جانبی  $43000 \text{ kg}$ ، سختی به  $260 \text{ t/m}$  کاهش می‌یابد. پس از این مرحله، بار دیگر سختی افزایش یافته و به  $420 \text{ t/m}$  می‌رسد. در دو مرحله اخیر سختیها به ترتیب برابرند با  $7\%$  و  $11/5\%$  سختی اولیه ارجاعی. شکلهای ۱۵ و ۱۶ تغییرات فوق را نمایش می‌دهند.

کمانش پلاستیک دیده می‌شود. کرنشها تا  $0/04$  افزایش یافته‌اند.

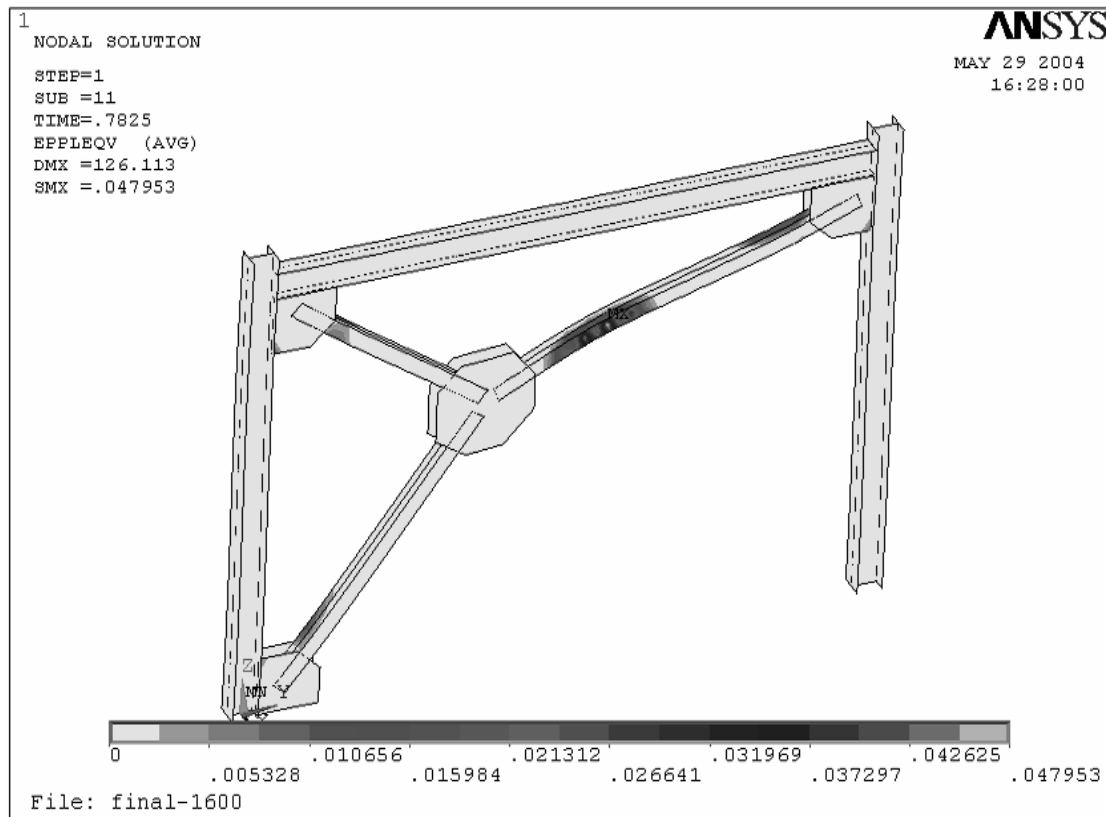


شکل ۱۲ نمودار تغییرمکان عمود بر صفحه قاب به ازای تغییرات نیروی جانبی در مدل ۱۶۰۰

در محدوده مفصل پلاستیک که تقریباً یک‌سوم طول مهاربند بلندتر را می‌پوشاند، تغییرشکل پلاستیک ظاهر شده که ناحیه مفصل پلاستیک را تقریباً به سه قسمت مساوی تقسیم می‌کند.

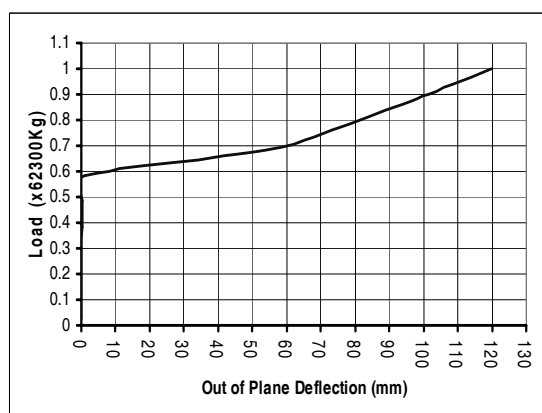


شکل ۱۳ توزیع کرنش پلاستیک در مدل ۱۶۰۰ درست قبل از بروز کمانش

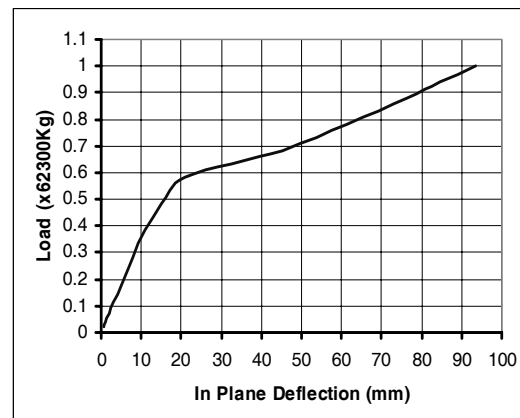


شکل ۱۴ توزیع کرنش پلاستیک در مدل ۱۶۰۰ پس از کمانش و تشکیل مفصل پلاستیک

دو هسته کمانش در بار جانبی  $39000\text{kg}$  و در تغییر مکان جانبی  $2/6\text{ cm}$  اتفاق می‌افتد. محدوده کاهش سختی پس از کمانش در این مدل بسیار کوچک بوده و تا تغییر مکان جانبی  $4/3\text{ cm}$  و نیروی جانبی  $41000\text{kg}$  ادامه دارد. سختی جانبی در این مرحله برابر  $120\text{t/m}$  محاسبه می‌شود.



شکل ۱۶ نمودار تغییر مکان عمود بر صفحه قاب به ازای تغییرات نیروی جانبی در مدل ۱۲۵۰



شکل ۱۵ نمودار تغییر مکان داخل صفحه قاب به ازای تغییرات نیروی جانبی در مدل ۱۲۵۰

آخرین مدل یعنی ۱۱۰۰ نمایش دهنده بیشترین نرمی در این رشته تحلیلها است. سختی اولیه جانبی آن قبل از کمانش برابر است با  $1500\text{t/m}$ .

#### ۱۱۰۰-۵-۴-۴ مدل

می‌شود. در نقاط تکیه‌گاهی اعضای مهاربندی کرنشها ایستاده حد ۷۰٪ پدید آمده و به نظر می‌رسد که با افزایش نیروی جانبی کمانش داخل صفحه قاب روی خواهد داد. اما در شکل ۲۰ که توزیع کرنشهای پلاستیک پس از کمانش را نشان می‌دهد، تشکیل مفصل پلاستیک مربوط به کمانش خارج از صفحه در مهاربند بلندتر مشاهده می‌شود. کرنش نیز تا حد ۱۵٪ افزایش یافته است.

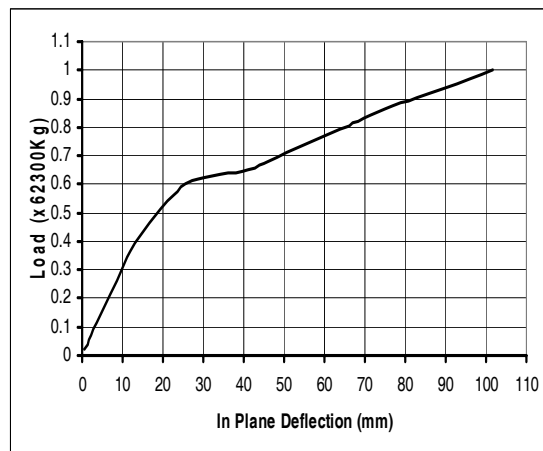
#### ۶-۴- تغییرات بار کمانش و سختی جانبی به

$$\frac{l}{d}$$

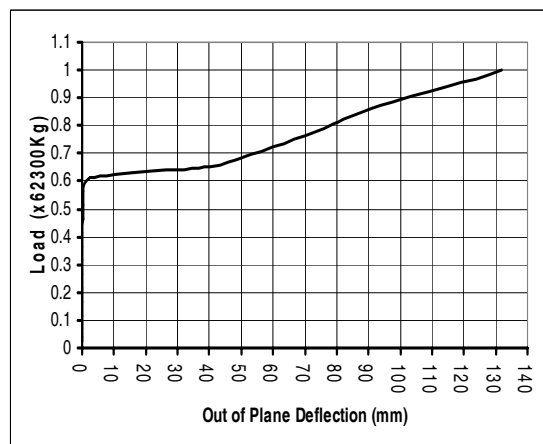
شکل ۲۱ نشان دهنده تغییرات بار کمانش غیرارتجاعی به ازای نسبت‌های مختلف  $\frac{l}{d}$  است. برای مدل ۲۲۰۰ نسبت  $\frac{l}{d}$  برابر یک و برای مدل ۱۱۰۰ برابر ۰/۵۴ است.

شکل ۲۲ نشان دهنده تغییرات مقدار تغییرمکان افقی داخل صفحه قاب در هنگام کمانش برای مدل‌های پنج گانه مورد بررسی است. کمترین تغییرمکان مربوط به مدل ۲۲۰۰ و بیشترین تغییرمکان متعلق به مدل ۱۱۰۰ است. شکل ۲۳ نشان دهنده سختی ارجاعی قاب قبل از کمانش و سختیهای اولیه و ثانویه پس از کمانش برای مدل‌های تحت بررسی است. تغییرات سختی ارجاعی بسیار چشمگیر است حال آنکه تغییرات سختی غیرارتجاعی پس از کمانش چندان زیاد نیست. علت آن است که هندسه مهاربندی، یکی از مهمترین عوامل در تعیین سختی ارجاعی مهاربندی است و با تغییر هندسه، تغییر شدیدی در سختی ارجاعی روی می‌دهد. از سوی دیگر سختی غیرارتجاعی پس از کمانش، ناشی از عملکرد مفصل خمی پلاستیک تشکیل شده در عضو بلندتر مهاربندی است که میزان سختی ناشی از آن، تغییر چندانی به ازای تغییر هندسه مهاربندی ندارد.

سپس با فعال شدن مفصل پلاستیک سختی افزایش یافته و به  $390 \text{ t/m}$  می‌رسد. در مراحل پس از کمانش، سختیهای جانبی به ترتیب برابرند با ۸٪ و ۲۶٪ سختی اولیه. شکلهای ۱۷ و ۱۸ تغییرات فوق را نمایش می‌دهد.

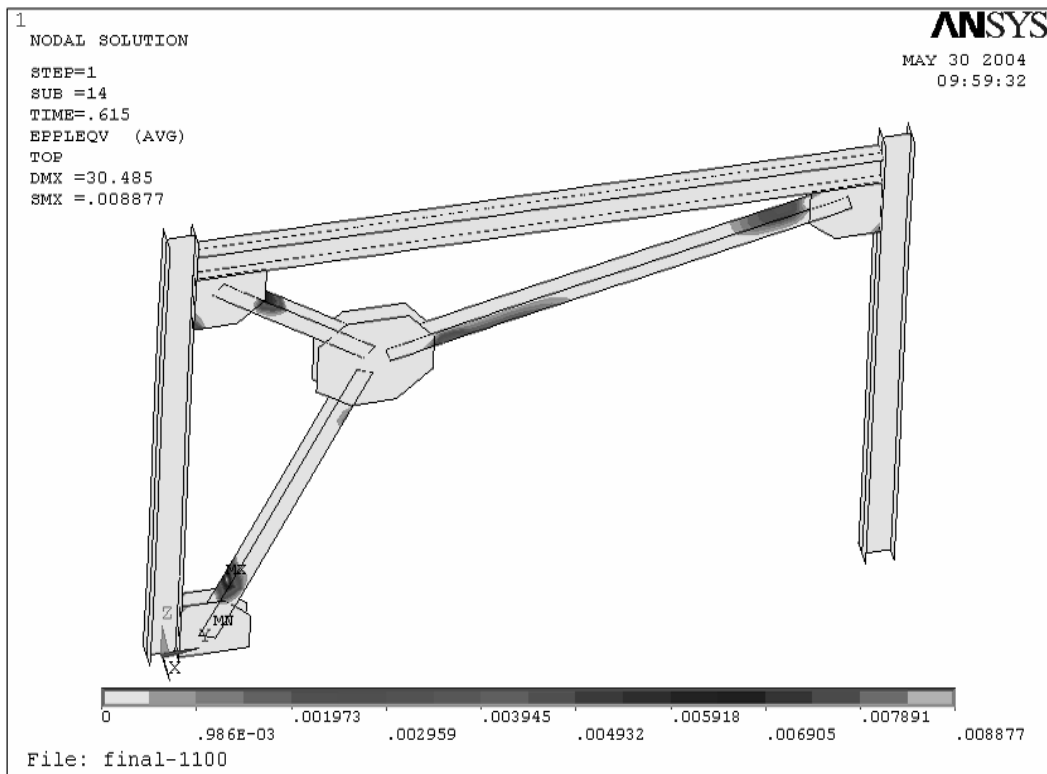


شکل ۱۷ نمودار تغییرمکان داخل صفحه قاب به ازای تغییرات نیروی جانبی در مدل ۱۱۰۰

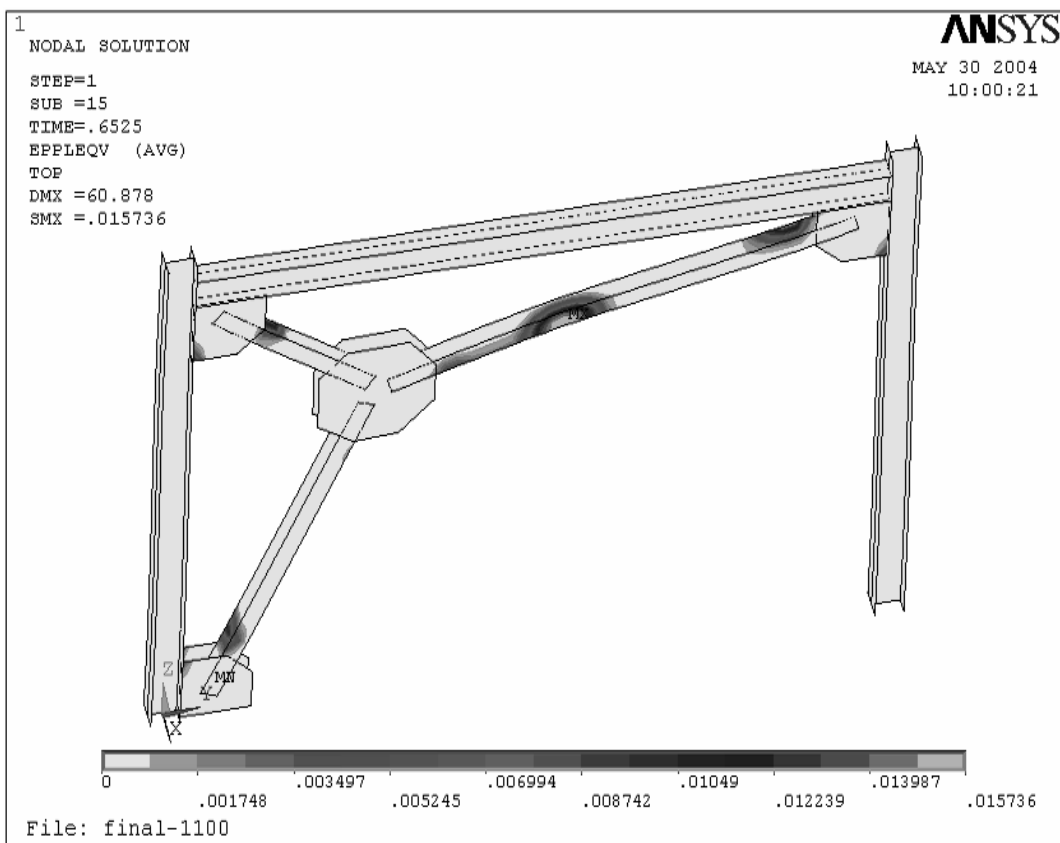


شکل ۱۸ نمودار تغییرمکان عمود بر صفحه قاب به ازای تغییرات نیروی جانبی در مدل ۱۱۰۰

مدل ۱۱۰۰ از نظر تدریجی بودن کمانش و حفظ سختی جانبی پس از کمانش، بهترین نتایج را در این رشتہ از تحلیل‌ها دارد. در شکل ۱۹ نمای توزیع تنشهای پلاستیک در مدل ۱۱۰۰ درست قبل از کمانش دیده

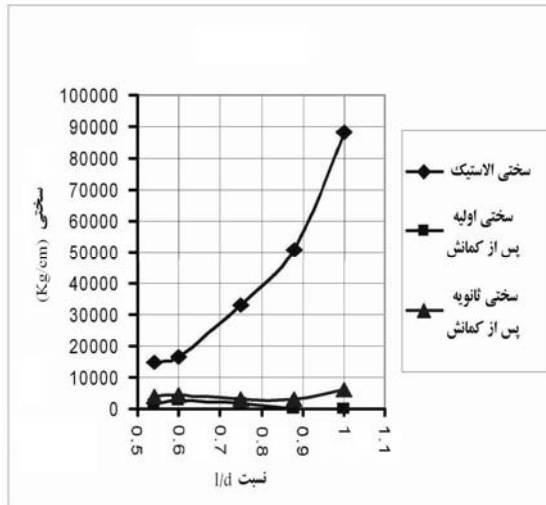


شکل ۱۹ توزیع کرنش پلاستیک در مدل ۱۱۰۰ درست قبل از بروز کمانش



شکل ۲۰ توزیع کرنش پلاستیک در مدل ۱۱۰۰ پس از کمانش و تشکیل مفصل پلاستیک

که ناشی از عملکرد مفصل پلاستیک خمشی است - به چشم می خورد. مدل ۱۱۰۰ با داشتن حداقل  $\frac{l}{d}$  در میان مدل های مورد بررسی، بیشترین نسبت سختی غیرارتجاعی به سختی ارجاعی را دارد.

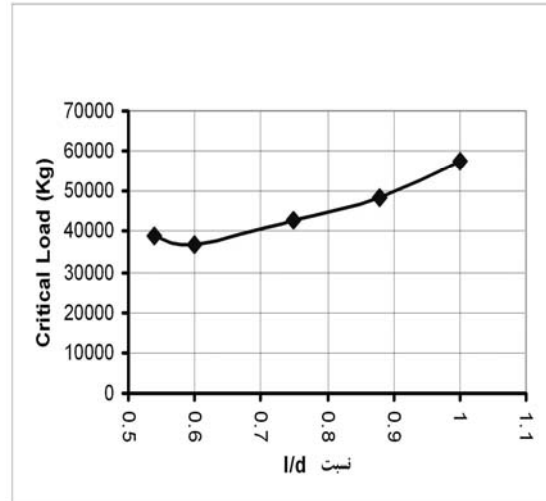


شکل ۲۳ تغییرات سختی جانبی مهاربندی y قبل و بعد از کمانش ارجاعی به ازای تغییرات طول عضو کوچکتر مهاربندی y

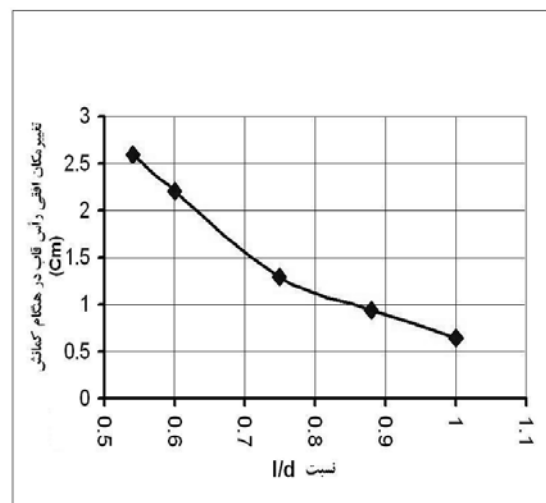
## ۵- بررسی رفتار حلقوی مهاربند همگرای y شکل

از مطالعات بند ۴ که مربوط به تحلیل تحت بار افزاینده جانبی<sup>۱</sup> قاب یکدهانه یک طبقه دارای مهاربندهای همگرا با هندسه های مختلف بود، این نتیجه حاصل می شود که به علت تشکیل مفصل پلاستیک در عضو بلندتر مهاربندی، رفتار کمانش غیرارتجاعی توأم با استهلاک انرژی در حلقه های بارگذاری و باربرداری قابل انتظار است. بنابراین با انجام تحلیلهای چرخه ای، منحنیهای بار جانبی - تغییر مکان جانبی برای مدل مورد بحث به دست آمد.

1. Push Over



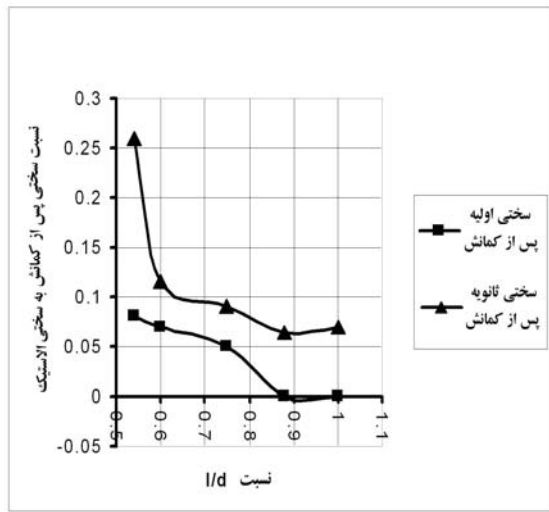
شکل ۲۱ تغییرات بار کمانش غیرارتجاعی به ازای تغییرات طول عضو کوچکتر مهاربندی y



شکل ۲۲ تغییرات تغییر مکان افقی داخل صفحه در هنگام کمانش به ازای تغییرات طول عضو کوچکتر مهاربندی y

شکل ۲۴ نشان دهنده نسبت سختی های غیرارتجاعی اولیه و ثانویه پس از کمانش به سختی ارجاعی قبل از کمانش است. دیده می شود که کاهش طول عضو کوچکتر مهاربندی، یعنی حرکت نقطه همگرایی مهاربندی به سمت گوشه قاب - که با کاهش  $\frac{l}{d}$  همراه است - باعث افزایش نسبت سختی غیرارتجاعی، به سختی ارجاعی می شود. این افزایش به ویژه در مورد سختی ثانویه پس از کمانش -

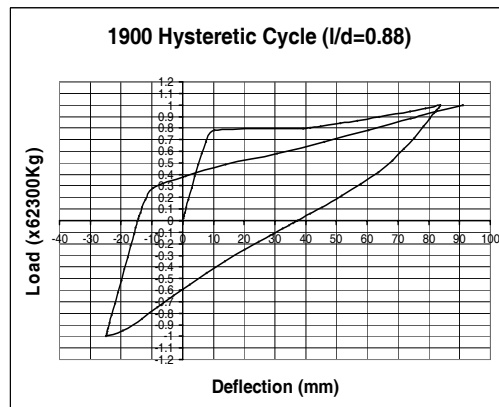
بخش کششی است. سطح داخل چرخه که نشان دهنده انرژی مستهلك شده توسط مهاربندی است، برابر  $t \cdot m$   $3/24$  است. از کل انرژی مستهلك شده در این حلقه، مقدار  $2/02 t \cdot m$  یا  $20.2\%$  از کل انرژی توسط بخش فشاری و  $t \cdot m$   $1/22$  یا  $3.8\%$  کل انرژی توسط بخش کششی جذب شده است. این نتیجه قابل توجه است و نشان می‌دهد که کاهش سختی تحت فشار که از استهلاک انرژی سیستم می‌کاهد، به نحو چشمگیری به وسیله مفصل پلاستیک خمی تشکیل شده در عضو بلندتر مهاربندی جبران شده است. حداقل فاصله بین تغییر مکان‌های مثبت و منفی در یک چرخه این مدل برابر است با  $5/2 cm$  که در تراز بار  $P/0 = 25 kg$  یا  $15575 kg$  بدست می‌آید.



شکل ۲۴ تغییرات سختی جانبی پس از کمانش به سختی قبل از کمانش در مهاربندی  $u$  به ازای تغییرات طول عضو کوچکتر مهاربندی

### ۱۹۰۰-مدل ۲-۵

شکل ۲۶ نشان دهنده منحنی رفتار چرخه‌ای مدل ۱۹۰۰ است.

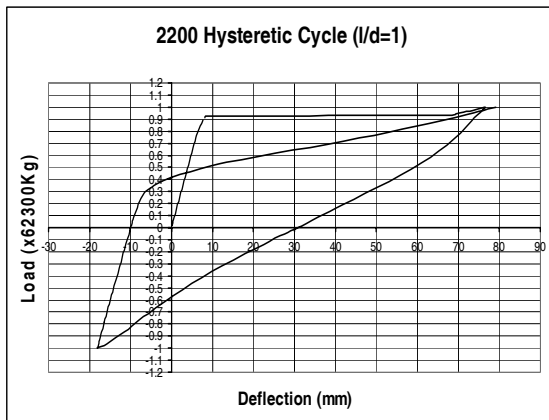


شکل ۲۶ چرخه رفتاری برای مدل ۱۹۰۰

در این مدل سختی وتری بخش فشاری حدود  $0/3$  سختی وتری بخش کششی است. سطح داخل چرخه یعنی کل انرژی مستهلك شده عبارت است از  $3/98 t \cdot m$  که بخش فشاری  $2/43 t \cdot m$  یا  $20.61\%$  از کل انرژی و بخش کششی  $1/57 t \cdot m$  یا  $3.39\%$  از کل انرژی را مستهلك کرده است. حداقل فاصله بین تغییر مکان‌های مثبت و منفی در

### ۲۲۰۰-مدل ۱-۵

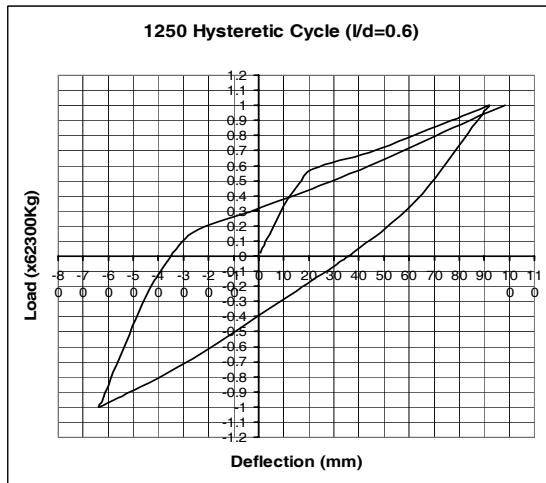
مطابق روال قسمت قبل، بررسی این ۵ منحنی را با مدل ۲۲۰۰ شروع می‌کنیم که یک چرخه رفتاری آن در شکل ۲۵ نشان داده شده است.



شکل ۲۵ چرخه رفتاری برای مدل ۲۲۰۰

این منحنی نشان دهنده سختی زیاد مهاربندی در کشش و سختی کم در فشار است. به ازای بار مساوی در کشش و فشار، تغییر مکان تحت فشار، بیش از چهار برابر تغییر مکان تحت کشش است. یعنی می‌توان گفت که سختی وتری در بخش فشاری حدود  $0/25$  سختی وتری

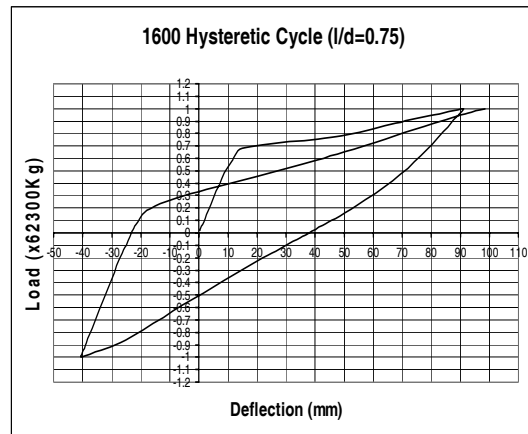
و منفی در یک چرخه مدل ۱۲۵۰ برابر  $7/65\text{cm}$  است که در تراز بار  $11\text{P}^0/0$  یا  $6900\text{kg}$  بدست آمده است.



شکل ۲۸ چرخه رفتاری برای مدل ۱۲۵۰

### ۳-۵- مدل ۱۶۰۰

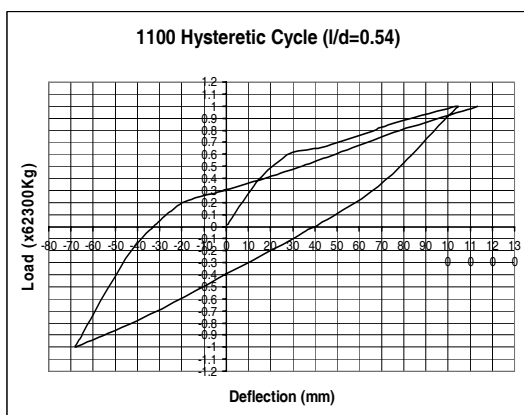
در شکل ۲۷ منحنی رفتار چرخه‌ای مدل ۱۶۰۰ دیده می‌شود.



شکل ۲۷ چرخه رفتاری برای مدل ۱۶۰۰

### ۴-۵- مدل ۱۱۰۰

در شکل ۲۹ چرخه رفتاری مدل ۱۱۰۰ نشان داده شده که در آن سختی وتری بخش فشاری برابر  $69\%/45$  سختی وتری کششی است.



شکل ۲۹ چرخه رفتاری برای مدل ۱۱۰۰

کل انرژی مستهلك شده در یک چرخه برابر است با  $4/95\text{t.m}$  که بخش فشاری  $55\%/\text{آن}$  و بخش کششی  $45\%$  آن را جذب کرده است. حداقل فاصله بین تغییر مکانهای مثبت و منفی در یک چرخه این مدل برابر است با  $7/94\text{cm}$  که در تراز بار  $2\text{P}^0/0$  یا  $12500\text{kg}$  بدست آمده است.

سختی وتری بخش فشاری حدود  $45\%/\text{آن}$  سختی وتری بخش کششی است. کل انرژی مستهلك شده در یک حلقه برابر است با  $4/35\text{t.m}$  که بخش فشاری  $57\%/\text{آن}$  و بخش کششی  $43\%/\text{آن}$  را جذب کرده است. حداقل فاصله بین تغییر مکانهای مثبت و منفی در یک چرخه این مدل برابر است با  $7/1\text{cm}$  که در تراز بار  $18\text{P}^0/0$  یا  $11500\text{kg}$  بدست آمده است.

### ۴-۵- مدل ۱۲۵۰

برای مدل ۱۲۵۰ که چرخه رفتاری آن در شکل ۲۸ دیده می‌شود، سختی وتری بخش فشاری حدود  $68\%/\text{آن}$  سختی وتری بخش کششی است.

از کل انرژی مستهلك شده در یک حلقه که برابر است با  $4/9\text{t.m}$ ، حدود  $55\%/\text{آن}$  تحت فشار و  $45\%/\text{آن}$  تحت کشش جذب شده است. حداقل فاصله بین تغییر مکانهای مثبت

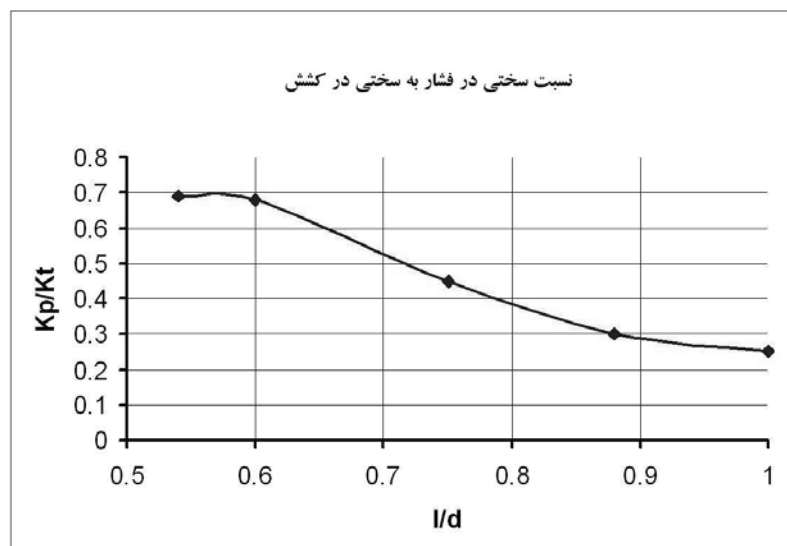
در شکل ۳۱ تغییرات انرژی مستهلك شده در یک چرخه برای مدلهاي پنج گانه ارائه شده و مشاهده می شود که مدل ۲۲۰۰ کمترین جذب انرژی و مدل ۱۱۰۰ بیشترین جذب انرژی را دارد.

در شکل ۳۲ تغییرات حداقل فاصله بین تغییر مکانها مثبت و منفی در یک چرخه برای مدلهاي پنج گانه نشان داده شده است. مدل ۲۲۰۰ کمترین فاصله و مدل ۱۱۰۰ بیشترین فاصله تغییر مکان را در هر چرخه دارد.

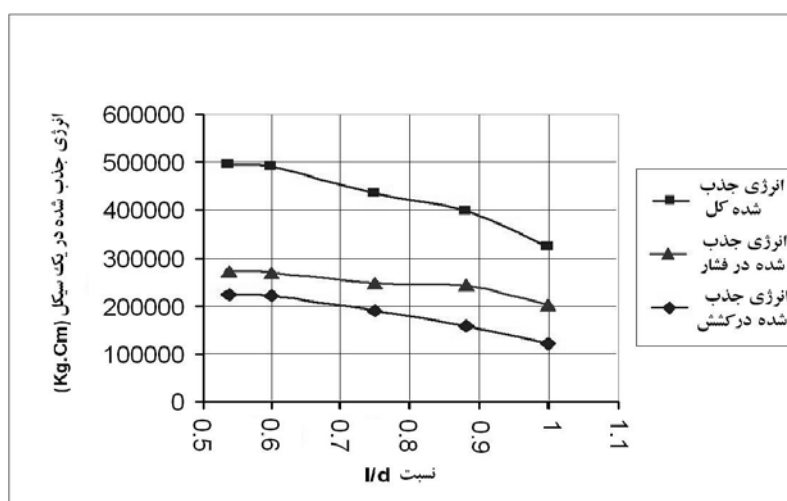
## ۶-۵- تغییرات سختی و جذب انرژی چرخه ای غیر ارجاعی

در شکل ۳۰ تغییرات نسبت سختی فشاری به سختی کششی به ازای تغییرات  $\frac{l}{d}$  نشان داده شده است.

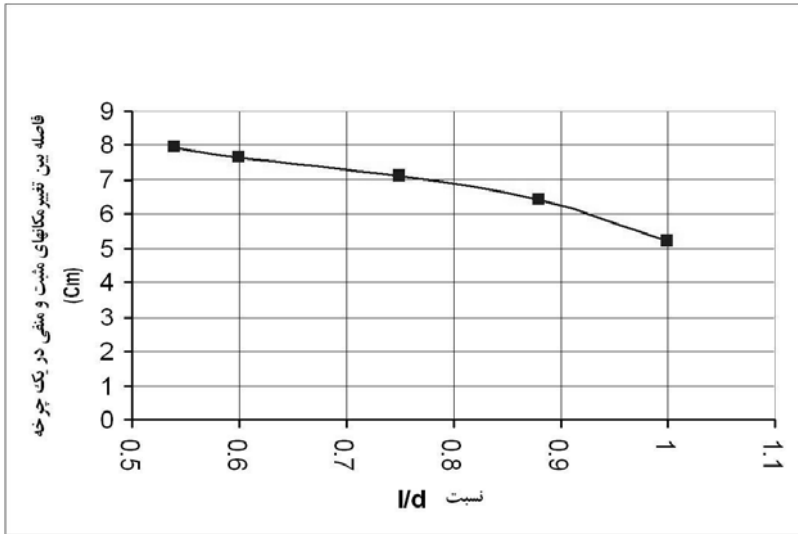
دیده می شود که مدل ۱۱۰۰ بیشترین نسبت سختی فشاری به کششی را دارد و مدل ۲۲۰۰ کمترین نسبت را دارد. این نسبت بین ۶۹٪ برای مدل ۱۱۰۰ تا ۲۵٪ برای مدل ۲۲۰۰ متغیر است.



شکل ۳۰ نسبت سختی فشاری به سختی کششی به ازای تغییرات نسبت  $d/l$  در مدلهاي پنج گانه



شکل ۳۱ تغییرات انرژی مستهلك شده در یک چرخه به ازای تغییرات نسبت  $d/l$  در مدلهاي پنج گانه



شکل ۳۲ تغییرات حداکثر فاصله بین تغییرمکانهای مثبت و منفی در هر چرخه در مدلهای پنج گانه

۶- کاهش  $\frac{l}{d}$  موجب افزایش استهلاک انرژی حلقوی مهاربندی y شکل می شود.

۷- تأثیر کاهش  $\frac{l}{d}$  بر افزایش انرژی مستهلهک شده تحت کشش، بیش از تأثیر آن بر افزایش انرژی مستهلهک شده تحت فشار است. علت این امر وابستگی استهلاک انرژی تحت فشار به عملکرد مفصل پلاستیک ناشی از کمانش است که به هندسه مهاربندی ارتباط چندانی ندارد.

۸- کاهش  $\frac{l}{d}$  باعث مقارنتر شدن حلقه های رفتاری نیرو-تغییرمکان مهاربندی می شود. مقادیر سختی جانبی قاب تحت فشار و تحت کشش با کاهش  $\frac{l}{d}$  به یکدیگر نزدیک می شوند.

۹- با توجه به اینکه در این رشته تحلیلها و در بررسی رفتار حلقوی نمونه های پنج گانه، حدود مثبت و منفی نیروهای اعمال شده برای تمام نمونه ها یکسان است، افزایش استهلاک انرژی حلقوی به ازای کاهش  $\frac{l}{d}$ ، به افزایش فاصله میان حداکثر تغییرمکان مثبت و حداکثر تغییر مکان منفی در هر چرخه ارتباط داده می شود. یعنی کاهش سختی کلی مهاربندی همزمان با کاهش  $\frac{l}{d}$  باعث افزایش دامنه تغییرمکانها شده و این امر توأم با ثابت

## ۶- نتیجه گیری

در این مقاله به ازای تغییرات  $\frac{l}{d}$  یا نسبت طول عضو کوچکتر مهاربندی y شکل به طول نصف قطر چشمہ قاب، تغییرات رفتار مهاربندی y شکل بررسی شده و نتایج به شرح زیر است:

۱- کاهش  $\frac{l}{d}$  موجب کاهش بار کمانش ارتجاعی قاب می شود. در حالات بررسی شده بار کمانش ارتجاعی از حد تسلیم اعضا مهاربندی بیشتر بوده است. بنابراین کمانش غیرارتجاعی بر رفتار مهاربندی y شکل تحت فشار با شرایط گیرداری کامل تکیه گاهها، حاکم است.

۲- کاهش  $\frac{l}{d}$  موجب کاهش سختی جانبی این نوع مهاربندی در محدوده ارتجاعی می شود.

۳- در بررسی پدیده کمانش غیرارتجاعی مهاربندی y شکل تحت فشار، کاهش  $\frac{l}{d}$  باعث کاهش بار کمانش می شود.

۴- کاهش  $\frac{l}{d}$  باعث افزایش سختی جانبی پس از کمانش غیرارتجاعی مهاربندی می شود.

۵- کاهش  $\frac{l}{d}$  باعث کاهش تفاوت میان سختی جانبی قاب قبل و بعد از کمانش غیرارتجاعی می شود.

[2] Sontag H.; Henn W.; Hart F.; Multi Storey Buildings in Steel; Collins, London; 1985.

[۳] فخر یاسری؛ سیروس-پورو شسب؛ رستم؛ "طرح و محاسبه سالنهای صنعتی سبک و سنگین" انتشارات دهدخدا، تهران؛ ۱۳۸۰.

[4] Eurocode 8; Design of Structures for Earthquake Resistance; part 3; BSI London; December; 2001.

[۵] مرکز تحقیقات ساختمان و مسکن؛ آیین نامه طراحی ساختمانها در برابر زلزله؛ استاندارد ۲۸۰۰؛ ویرایش دوم؛ نشریه فنی ۲۵۳؛ آذر ۱۳۷۸.

[۶] بادپر علیرضا؛ بررسی رفتار قابهای با مهاربندی Y شکل؛ پایان نامه کارشناسی ارشد؛ دانشکده فنی دانشگاه تهران؛ خرداد ۱۳۷۵.

[۷] ابراهیمی سیقلی، فرزاد؛ بررسی رفتار دینامیکی خطی و غیرخطی بادبندهای Y شکل؛ پایان نامه کارشناسی ارشد؛ دانشکده عمران دانشگاه علم و صنعت ایران؛ ۱۳۷۸.

[۸] کاظمی، محمد تقی؛ عرفانی، سعید؛ طراحی بادبندهای دروازه‌ای برای زلزله؛ مجموعه مقالات سومین همایش نقد و بررسی آیین نامه طراحی ساختمانها در برابر زلزله (استاندارد ۲۸۰۰)؛ ۱۳۸۱.

ماندن دامنه نیروهای جانبی وارد شده موجب افزایش سطح زیر حلقه و به بیان دیگر باعث افزایش استهلاک انرژی حلقوی شده است.

۱۰- از تحلیلهای انجام شده در این تحقیق چنین استنباط می‌شود که کاهش  $\frac{l}{d}$  یعنی نزدیک شدن نقطه همگرایی مهاربندی به گوشه قاب، باعث بهبود رفتار کلی مهاربندی می‌شود. این امر در فاصله تغییرات  $\frac{l}{d}$  بین ۱/۰ تا ۰/۵۴ تحقیق شده است.

۱۱- با توجه به محدودیت استاندارد ۲۸۰۰ در مورد سهم مهاربندی فشاری و کششی در تحمل برش طبقه و با توجه به نسبت سختی مهاربندی  $Y$  شکل در فشار به سختی آن در کشش، به نظر می‌رسد که برای اراضی استاندارد ۲۸۰۰ باید از هندسه‌های دارای نسبت  $\frac{l}{d}$  کوچکتر از ۰/۷۵ استفاده شود. در این حالت در هر جهت پلان باید یک جفت مهاربندی  $Y$  شکل به طور متقارن در نظر گرفته شود.

۱۲- بیشتر موارد فوق با مدل‌سازی فیزیکی و انجام آزمایش مقیاس واقعی، تایید شد. نتایج مدل‌های فیزیکی در مقاله دیگری توسط نگارنده منتشر خواهد شد.

## ۷- منابع

[1] Taranath S., Steel, Concrete & Composite Design of tall Buildings, McGraw Hill, New York; 1997.